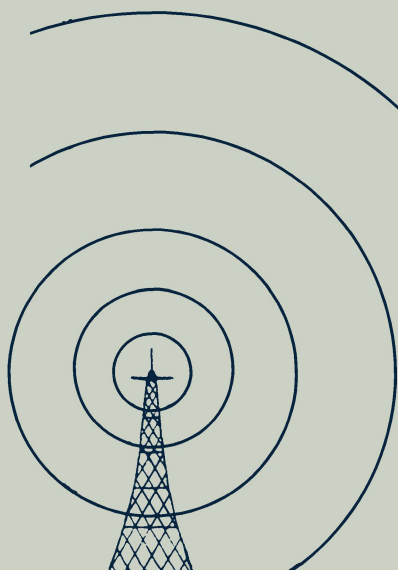


МАССОВАЯ

РАДИО - БИБЛИОТЕКА

**П Р И Б О Р Ы
РАДИОЛЮБИТЕЛЬСКОЙ
ЛАБОРАТОРИИ**



ГОСЭНЕРГОИЗДАТ

Основные данные электронно-лучевых трубок отечественного производства

Тип	Накал		Минимальный режим		Максимальный режим		Миним. ток втор. анода	Запирающ. напрж. на модулят.	Чувствительность	Цвет свечения экрана	Отклонение	Фокусировка	Основное применение	Габариты	
	U	I	U_{a_2}	U_{a_1}	U_{a_2}	U_{a_1}								Высота	Диаметр
—	$в$	$а$	$в$	$в$	$в$	$в$	мкА	$в$	м.м/в	—	—	—	—	мм	мм
1	2	3	4	5	6	7	8	9	10	11	12	13	14	15	16
ЛО-700	0,5—0,9	2,5	—	500	—	1 000	—	—120	0,2	Синий	Электростатическое	Газовая	Осциллографирование	380	127
ЛО-701	0,5—0,9	2,5	—	300	—	600	—	—72	0,24	Зеленый	То же	То же	То же	380	127
ЛО-702	0,5—0,9	2,5	4 000	550—650	5 000	700—800	85	—90	—	Синий	Магнитн.	Электростатичес.	"	480	127
ЛК-703	0,5—0,9	2,5	—	—	5 000	700—800	85	—90	—	Зеленый	То же	То же	Телевидение	480	127
ЛО-705	2,5	1,8—2,4	800	200—250	1 200	280—380	85	—60	0,2	То же	Электростатическое	"	Осциллографирование	300	78
ЛО-706	2,5	1,8—2,4	800	200—260	1 200	280—380	85	—60	0,2	Синий	То же	"	То же	300	78
ЛК-707	2,5	1,8—2,4	—	—	6 000	1 100—1 350	200	—60	—	Белый	Магнитн.	"	Телевидение	545	230
ЛК-708	2,5	1,8—2,4	—	—	3 000	330—490	100	—35	—	То же	То же	"	То же	410	129
ЛО-709	2,5	1,8—2,4	1 000	170—210	2 000	350—440	85	—40	0,2	Зеленый	Электростатическое	"	Осциллографирование	430	135
ЛО-710	2,5	1,8—2,4	1 000	170—210	2 000	350—440	85	—55	0,2	Синий	То же	"	То же	430	135
ЛО-711	2,5	1,8—2,4	3 000	580—660	5 000	1 000—1 100	85	—95	0,08	То же	"	"	"	465	135
ЛО-712	2,5	1,8—2,4	3 000	580—660	5 000	1 000—1 100	85	—95	0,08	Зеленый	"	"	"	465	135
ЛО-713	2,5	1,8—2,4	800	200—260	3 000	800—1 100	85	—100	0,12	Синий	"	"	"	315	78
ЛК-714	2,5	1,8—2,4	—	—	12 000	1 600—2 100	—	—90	—	Зеленый	Магнитн.	"	Телевидение	365	112
ЛК-715	2,5	1,8—2,4	—	—	3 500	—	350	—60	—	Белый	То же	Магнитн.	То же	355	172
ЛО-716	2,5	1,8—2,4	400	100	600	150	70	—90	0,19	Зеленый	Электростатическое	Электростатическое	Осциллографирование	165	53

МАССОВАЯ БИБЛИОТЕКА
РАДИО
ПОД ОБЩЕЙ РЕДАКЦИЕЙ АКАДЕМИКА А. И. БЕРГА

Выпуск 40

ПРИБОРЫ РАДИОЛЮБИТЕЛЬСКОЙ ЛАБОРАТОРИИ

(ЭКСПОНАТЫ 7-й ВСЕСОЮЗНОЙ
ЗАОЧНОЙ РАДИОВЫСТАВКИ)



Scan AAW



ГОСУДАРСТВЕННОЕ ЭНЕРГЕТИЧЕСКОЕ ИЗДАТЕЛЬСТВО
МОСКВА 1949 ЛЕНИНГРАД

В брошюре даются описания наиболее интересных конструкций электронных осциллографов, катодных вольтметров, звукового генератора, приборов для определения качества катушек и магнитных измерений, из числа премированных на 7-й Всесоюзной заочной радиовыставке.

Все эти приборы доступны для изготовления радиолюбителями, обладающими опытом в постройке радиоприемников.

Брошюра составлена по материалам 7-й Всесоюзной заочной радиовыставки инж. З. Б. Гинзбургем.

СОДЕРЖАНИЕ

	<i>Стр.</i>
Введение	3
1. Портативный осциллограф (экспонат Н. М. Чупиро)	4
2. Осциллограф с непрерывной и ждущей разверткой (экспонат К. А. Сотская)	8
3. Звуковой генератор (экспонат Н. М. Чупиро)	18
4. Ку-метр (экспонат А. Б. Коренман.)	22
5. Мю-метр (экспонат В. Н. Саврасова и С. Е. Гаинцева)	25
6. Катодный вольтметр (экспонат Е. А. Нехаевского)	29
7. Универсальный катодный вольтметр (экспонат В. А. Иванова)	37

Редактор М. С. Жук

Техред Г. Б. Фоминант

Сдано в набор 19/IV 1949 г.

Подписано к печати 1/X 1949 г.

Объем 3 п. л. 3 уч.-авт. л. 40 000 тип. зн. в 1 п. л.

Тираж 25 000

А-13105

Бумага 84×108¹/₃₂

Заказ 2140

Типография Госэнергиздата. Москва, Шлюзовая наб., 10.

ВВЕДЕНИЕ

Наряду с работой над современной приемной, телевизионной, звукозаписывающей и тому подобной аппаратурой радиолюбительская творческая мысль работает также и над конструкциями усовершенствованных измерительных приборов.

Такие приборы дают радиолюбителям возможность не только налаживать построенную ими радиоаппаратуру, но и производить различные исследования, связанные с разработкой этой аппаратуры.

Измерительные приборы и установки, представленные на 7-й Заочной радиовыставке, показали, что радиолюбители достигли значительных успехов как в части разработки тех или иных измерительных схем, так и в их конструктивном выполнении.

В настоящий выпуск «Массовой радиобиблиотеки» вошли описания нескольких наиболее интересных приборов — осциллографов, звуковых генераторов, ку-метра, мю-метра и катодных вольтметров, отмеченных призами на 7-й Всесоюзной заочной радиовыставке.

Постройка и налаживание этих приборов не представляют больших трудностей и вполне доступны для радиолюбителя средней квалификации.

ПОРТАТИВНЫЙ ОСЦИЛЛОГРАФ

(Экспонат *Н. М. Чупиро* — г. Ленинград)

В радиолюбительской работе катодный осциллограф является весьма полезным прибором, позволяющим производить разнообразные измерения и наблюдения, значительно облегчающие налаживание радиоаппаратуры, а также изучение тех или иных радиотехнических процессов.

Ленинградским радиолюбителем *Н. М. Чупиро* разработан и построен простой портативный осциллограф, вполне доступный для самостоятельного изготовления как радиокружкам, так и отдельным радиолюбителям.

Осциллограф (фиг. 1) состоит из трех узлов: блока развертки, усилителя сигналов и выпрямителя для питания цепей схемы и трубки.

В блоке развертки в качестве генератора пилообразных колебаний применена схема с тиратроном типа 884 и зарядной лампой — пентодом 6АС7.

В то время как тиратрон заперт, происходит заряд конденсатора ($C_1—C_7$) через лампу 6АС7. Режим этой лампы подбирается таким образом, что зарядный ток будет примерно постоянным и напряжение на конденсаторе будет возрастать практически линейно. По достижении необходимого потенциала конденсатор будет разряжаться через тиратрон. В результате этого процесса на потенциометре R_{16} , включенном в анодную цепь 6АС7, будут получаться напряжения пилообразной формы, которые с движка потенциометра подаются на горизонтальные отклоняющие пластины электронно-лучевой трубки ЛВ-8.

Частота пилообразных колебаний зависит от емкости зарядного конденсатора $C_1—C_7$. Чем больше будет емкость, тем меньше будет частота развертки.

Грубая регулировка частоты получается за счет переключения конденсаторов постоянной емкости $C_1—C_7$, производимой переключателем $П_4$. Емкости подобраны таким образом,

что общий диапазон развертки охватывает частоты от 10 до 20 000 *гц*.

Плавная регулировка частоты получается за счет изменения смещения на лампе 6АС7. Это смещение регулируется переменными сопротивлениями R_{13} и R_{15} , включенными в цепь катода 6АС7. пилообразное напряжение с лампы 6АС7 подается через конденсатор в 0,5 *мкф* на потенциометр R_{16} . Ползунок этого потенциометра присоединен к горизонтальной пластине трубки, обеспечивая изменение амплитуды развертки.

Синхронизация развертки может быть осуществлена тремя путями: непосредственно от исследуемого сигнала, от сети 50 *гц* и от внешнего источника.

Для подключения источника внешней синхронизации в схеме предусмотрены специальные зажимы, с которых напряжение через переключатель P_2 подается на сетку тиратрона 884. Регулировка напряжения синхронизации производится потенциометром R_6 .

Для центровки луча по вертикали служит потенциометр R_{20} , а по горизонтали — потенциометр R_{18} .

Исследуемое напряжение с входных зажимов осциллографа подается через разделительный конденсатор на переменное сопротивление R_1 . Далее оно может быть подано на трубку как непосредственно, так и через усилитель, состоящий из одного каскада на лампе 6АС7. Для включения усилителя служит переключатель P_1 . При работе без усилителя цепь сетки лампы 6АС7 отсоединяется во избежание появления сеточных токов, которые могут исказить исследуемый сигнал.

Питание осциллографа осуществляется от двух выпрямителей, имеющих общий силовой трансформатор.

Выпрямитель, питающий усилительную и зарядную лампы и тиратрон, собран на лампе 6Н7. Фильтр состоит из двух емкостей по 4 *мкф* и дросселя от приемника СВД. Выпрямленное напряжение имеет величину около 300 *в*.

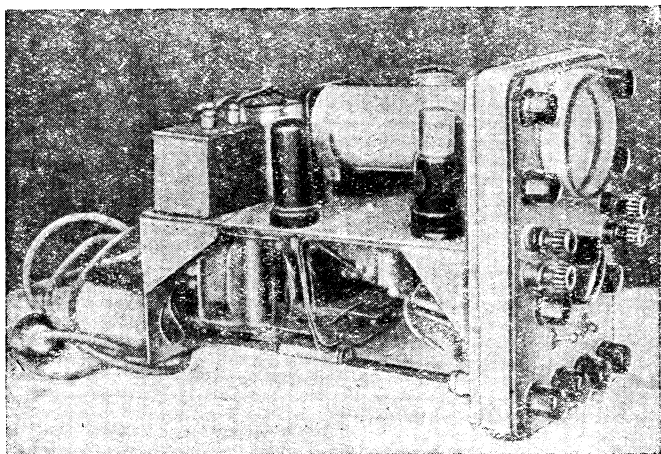
Питание трубки LB-8 происходит от выпрямителя, дающего 500 *в* выпрямленного напряжения; в нем работает лампа 6С5 с сеткой, закороченной на анод. Фильтр этого выпрямителя состоит из двух конденсаторов по 0,5 *мкф* и сопротивления 40 000 *ом*.

Высокое напряжение попадает на делитель R_{21} — R_{24} , с которого снимаются напряжения на первый анод (фокусировка), а также на цилиндр Венельта (регулировка яркости).

Наиболее сложной деталью осциллографа является силовой трансформатор. Его данные следующие: мощность 40 *вт*,

железо Ш-19, набор 4 см. Число витков на вольт 6,3. Сетевая обмотка: 693 витка ПЭ-0,4 (110 в) + 107 витков ПЭ-0,4 (127 в) + 585 витков ПЭ-0,3 (220 в). Повышающая: для усилителя и развертки 2×2 200 витков ПЭ-0,13 и для трубки 1 600 витков ПЭ-0,1; накала кенотрона 6Н7-38 витков ПЭ-0,65, накала кенотрона 6С5-38 витков ПЭ-0,44; накала тиратрона — 38 витков ПЭ-0,44; накала трубки — 75 витков ПЭ-0,47.

Данные сопротивлений и конденсаторов указаны на схеме



Фиг. 2. Общий вид осциллографа Н. М. Чупиро.

Налаживание осциллографа весьма просто. В основном приходится регулировать два узла схемы: питание трубки и развертку.

Питание на аноды и сетку трубки подается с потенциометров R_{23} и R_{24} , которые должны обеспечить нормальный режим яркости и фокусировки трубки. Регулировка частоты развертки сводится к подбору конденсаторов $C_1—C_7$, а также смещения на тиратроне сопротивлением R_{11} , регулирующим потенциал его зажигания.

Налаживание каждого из диапазонов производится совершенно независимо от других диапазонов.

Проще всего наладивание производить при помощи звукового генератора или сети переменного тока, подбирая при этом величины конденсаторов $C_1—C_7$ до получения нужных частот.

Осциллограф смонтирован в ящике размерами $300 \times 140 \times 200$ мм.

Для управления осциллографом служат следующие ручки, расположенные на передней панели: вертикального перемещения луча R_{20} , горизонтального перемещения луча R_{18} , фокусировки R_{23} , яркости R_{24} , регулировки частоты грубой P_{24} , то же плавной R_{13} , то же тонкой R_{15} , синхронизации R_6 , амплитуды пилы R_{16} , регулировки входного напряжения R_1 , переключателя на работу с усилителем и без него P_1 и переключателя «внешняя и внутренняя развертка» P_3 .

Размещение деталей и монтаж произведены достаточно рационально и обеспечивают отсутствие влияния поля силового трансформатора на трубку (фиг. 2).

ОСЦИЛЛОГРАФ С НЕПРЕРЫВНОЙ И ЖДУЩЕЙ РАЗВЕРТКОЙ

(Экспонат К. А. Сотскова — г. Москва)

Простой осциллограф дает возможность наблюдать только периодически повторяющиеся процессы и к тому же только в тех случаях, когда частота их не выходит за область частот звукового диапазона.

Для работ, связанных с радиочастотами, исчисляемыми сотнями и тысячами килогерц, такие осциллографы мало пригодны. Особенно сложно обстоит дело, когда приходится наблюдать непериодические или редко повторяющиеся процессы. Здесь уже обыкновенная, непрерывная развертка оказывается совершенно непригодной. В таких случаях приходится пользоваться более совершенным и более сложным осциллографом с непрерывной и ждущей разверткой.

Осциллограф с так называемой ждущей разверткой еще мало известен нашим радиолюбителям.

Такой прибор разработал и построил московский радиолюбитель К. А. Сотсков. Из приводимого ниже описания читатель увидит, что сделать его не сложнее, чем изготовить обычный 6—8-ламповый приемник.

Схема осциллографа

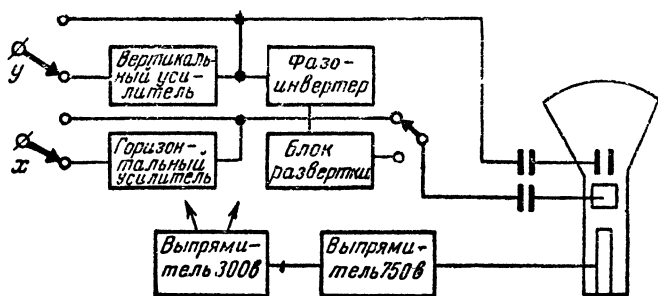
Осциллограф состоит из шести основных узлов, показанных на блок-схеме (фиг. 3).

Исследуемое напряжение подается на клемму вертикального отклонения y . На пластины вертикального отклонения на-

пряжение может быть подано как непосредственно со входа, так и после его усиления.

Часть исследуемого напряжения подается на фазоинвертер, с которого сигнал нужной полярности синхронизирует развертку. Необходимость изменения полярности связана с условиями работы ждущей развертки.

Пилообразное напряжение с блока развертки подается на пластины горизонтального отклонения. Кроме того, на пластины горизонтального отклонения может быть подано какое-



Фиг. 3. Блок-схема осциллографа с непрерывной и ждущей разверткой К. А. Сотскова.

либо внешнее напряжение; оно подается либо непосредственно, либо через горизонтальный усилитель.

В осциллографе имеются два выпрямителя: первый — на 300 в; он питает блок развертки, усилители и фазоинвертер; второй — на 750 в для питания электронно-лучевой трубки типа 906.

Питание осциллографа осуществляется от сети переменного тока напряжением 127 в.

Каскад развертки

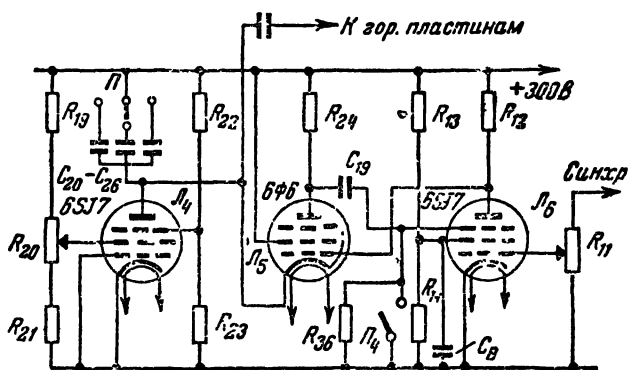
В каскаде развертки (фиг. 4) работают три лампы, из которых одна Λ_4 — пентод 6SJ7 — служит для поддержания постоянного тока заряда конденсатора. Две другие лампы Λ_5 — 6Ф6 и Λ_6 — 6SJ7 входят в схему генератора пилообразного напряжения.

Схема работает следующим образом.

1) Непрерывная развертка (выключатель Λ_4 разомкнут). С какого-то момента конденсатор C_{20-26} начинает за-

ряжаться от источника высокого напряжения через каскад \mathcal{L}_4 . В этот момент на сетке лампы \mathcal{L}_5 поддерживается напряжение, равное питающему, минус падение напряжения на сопротивление анодной нагрузки \mathcal{L}_6 . Это напряжение таково, что \mathcal{L}_5 оказывается запертой до того момента, когда C_1 успеет зарядиться до такой величины, чтобы напряжение на сетке \mathcal{L}_5 относительно катода стало равно напряжению отпираания.

С этого момента конденсатор начинает разряжаться через \mathcal{L}_5 , причем ток через сопротивление R_{24} вызовет появление отрицательного потенциала на пентодной сетке \mathcal{L}_6 . Вследствие



Фиг. 4. Схема каскада развертки осциллографа
К. А. Сотскова.

этого потенциал ее анода возрастет, что в свою очередь вызовет рост тока через \mathcal{L}_5 . Таким образом весь процесс протекает лавинообразно, и в очень короткий промежуток времени конденсатор окажется разряженным до исходного потенциала.

К этому времени \mathcal{L}_6 снова отопрется благодаря уменьшению тока через R_{24} . Лампа \mathcal{L}_5 снова окажется запертой и конденсатор опять начнет заряжаться через \mathcal{L}_4 . Заряд емкости через пентод \mathcal{L}_4 является прямым ходом луча по экрану электронно-лучевой трубки.

Скорость заряда, а следовательно, и частота развертки устанавливаются грубо путем подключения одного из конденсаторов группы $C_{20}-C_{26}$. Плавное изменение частоты развертки производится путем изменения напряжения на экранной

сетке L_4 потенциометром R_{20} . Для синхронизации частоты развертки с частотой исследуемого сигнала используется управляющая сетка L_6 , на которую подается часть исследуемого напряжения, снимаемая с потенциометра R_{11} .

Диапазон частот, генерируемых схемой, лежит в пределах от 2 гц до 400 кгц и перекрывается семью зарядными конденсаторами $C_{20}-C_{26}$. Наивысшая частота развертки генерируется с емкостью C_{26} , роль которой играет паразитная емкость схемы.

Напряжение на экранной сетке устанавливается делителем R_{19} , R_{20} , R_{21} и может изменяться в пределах от 6 до 48 в. При каждом включенном зарядном конденсаторе частота может плавно изменяться в 7—8 раз, что обеспечивает перекрытие всего диапазона без провалов.

На пентодную сетку L_4 подан небольшой положительный потенциал (около 10 в), что несколько уменьшает зависимость анодного тока от анодного напряжения. Так, при изменении анодного напряжения почти вдвое анодный ток меняется всего лишь на 4—5%. Этим достигается значительная линейность развертки.

2) Ж д у щ а я р а з в е р т к а (развертка одиночной строки).

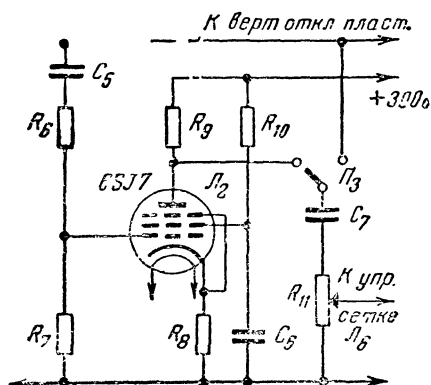
В случае непрерывной развертки схема работает с самовозбуждением благодаря подаче на сетку L_6 напряжения с сопротивлением R_{24} после того, как конденсатор C_{20-23} зарядится до напряжения, достаточного для отпирания лампы L_5 . Если это напряжение на пентодную сетку L_6 не подавать, то развертка повторяться не будет. Для этого достаточно заземлить пентодную сетку L_6 при помощи выключателя P_4 . При таком положении L_5 остается запертой, а C_{20-26} — заряженным до тех пор, пока на управляющую сетку L_6 не будет подан отрицательный импульс сигнала. Тогда L_6 запирается, на сетку L_5 будет подаваться полное высокое напряжение, и конденсатор C_{20-26} почти полностью разрядится. После этого начинается заряд со скоростью, обусловленной емкостью зарядного конденсатора и током, проходящим через лампу L_4 .

Для запуска ждущей развертки используется тот же сигнал, который подается на пластины вертикального отклонения. Возможность использования сигналов, как положительных, так и отрицательных, требует устройства, которое могло бы менять полярность сигнала с тем, чтобы на сетку L_6 сигнал всегда попадал в отрицательной фазе. Для этой цели в описываемой схеме служит фазоинверсный каскад.

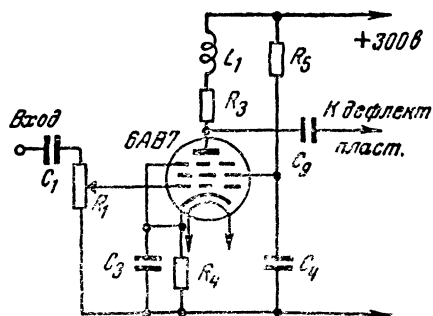
Фазоинвертер

Фазоинвертер служит для превращения сигнала положительной полярности в сигнал отрицательный. Это необходимо, так как ждущая развертка приводится в действие лишь отрицательным сигналом.

Как видно из схемы (фиг. 5) фазоинвертером является однокаскадный усилитель на сопротивлениях. Сопротивление



Фиг. 5. Схема фазоинвертера осциллографа К. А. Сотскова.



Фиг. 6. Схема вертикального и горизонтального усилителей осциллографа К. А. Сотскова.

в катод лампы не зашунтировано емкостью, в результате чего каскад работает с небольшой отрицательной обратной связью; эта связь позволяет подавать на сетку лампы 6SJ7 амплитуду несколько большую, чем допустимая в нормальном усилительном каскаде. Напряжение на потенциометр R_{11} для синхронизации и запуска развертки может быть взято как непосредственно с провода, ведущего к пластине вертикального отклонения, так и с анода фазоинверсной лампы. Сопротивление анодной нагрузки R_9 , равное 15 000 ом, обеспечивает коэффициент усиления каскада около 15. На сетку лампы каскада подается напряжение с делителя R_6-R_7 с отношением 1:15. Таким образом, режим синхронизации не меняется от изменения полярности сигнала. Изменение по-

лярности осуществляется при помощи переключателя Π_3 . Амплитуда синхронизирующего напряжения регулируется потенциометром R_{11} (ручка «синхронизация»).

Усилитель для вертикального отклонения луча

Усилитель для вертикального отклонения луча (фиг. 6) собран на лампе 6AB7. При сопротивлении анодной нагрузки R_3 , равной 10 000 ом, максимальный коэффициент усиления составляет около 50, что достаточно для большинства измерений.

Последовательно с сопротивлением анодной нагрузки включена индуктивность L_1 в 600 мкгн, корректирующая усилитель на высоких частотах. Верхний предел полосы пропускания усилителя лежит в области частот порядка 500—600 кГц. Напряжение на входе усилителя регулируется потенциометром R_1 в 1 мгом. Этот же потенциометр регулирует амплитуду входного напряжения при непосредственной подаче его на отклоняющие пластины. При работе без усилителя сетка лампы последнего заземляется.

Наблюдение кривых напряжений с частотой выше 15—20 кГц рекомендуется производить при полностью введенном потенциометре R_2 , иначе могут появиться искажения, вызванные наличием паразитной емкости входа.

Усилитель для горизонтального отклонения луча

Усилитель для горизонтального отклонения луча может быть использован при развертке, производимой от внешнего источника, или для сравнения частот и фаз по методу фигур Лиссажу. Данные такого усилителя — те же, что и усилителя, описанного ранее (фиг. 6).

Переключатель входа имеет три положения: при первом на горизонтальные пластины подается пилообразное напряжение развертки; при втором — зажим входа присоединен через емкость к пластине горизонтального отклонения; при третьем — входной зажим соединен с сеткой усилителя, а напряжение с усилителя подается к пластинам горизонтального отклонения.

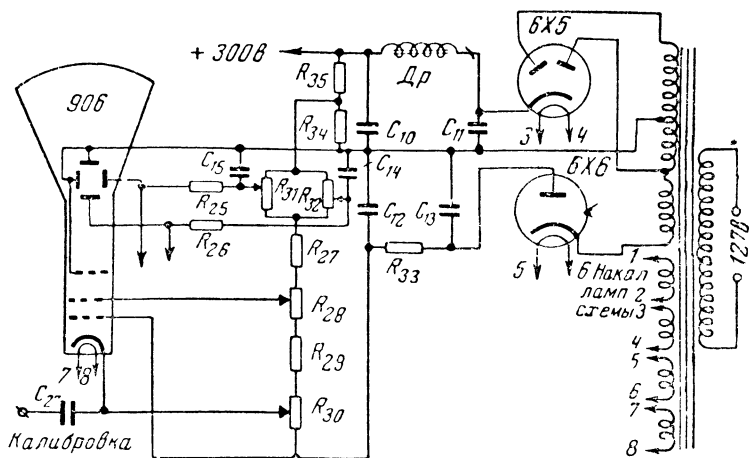
Во всех трех случаях амплитуда регулируется потенциометром R_2 в 2 мгом.

Питание осциллографа

Питание осциллографа производится от выпрямителя (фиг. 7), работающего от одного общего силового трансформатора, рассчитанного на включение в сеть переменного тока напряжением 127 в.

Фильтр—П-образный с дросселем. Общая емкость конденсаторов фильтра — 30 мкф. Напряжение, даваемое выпрямителем под нагрузкой, составляет 300 в.

Выпрямитель, питающий электронно-лучевую трубку, собран по однополупериодной схеме. На второй анод трубки подается 750 в. Такое относительно небольшое напряжение позволяет использовать в качестве кенотрона лампу 6Х6, которая



Фиг. 7. Выпрямительная часть осциллографа К. А. Сотскова.

в этих условиях работает вполне надежно. Фильтр выпрямителя состоит из двух конденсаторов по $0,1 \text{ мкф}$ и сопротивления $R_{зз}$ в $220\,000 \text{ ом}$.

В осциллографе применена трубка типа 906. Напряжение на электроды трубки снимается с делителя, стоящего на выходе высоковольтного выпрямителя. Делитель состоит из четырех постоянных сопротивлений: R_{35} , R_{34} , R_{27} , R_{29} и четырех потенциометров: R_{30} — регулировки яркости, R_{28} — фокусировки, R_{31} — вертикального смещения луча и R_{32} — горизонтального смещения его.

Провод от катода грубки через емкость выведен к зажиму, находящемуся на задней стенке осциллографа. При подаче на этот зажим напряжения, изменяющегося с известной частотой, получается возможность модулировать поток электронов и производить таким образом калибровку сигнала по

времени. Для этого ручку яркости устанавливают в такое положение, когда на экране трубки сигнал оказывается вычерченным штрихами или точками. Подсчитав их количество и зная частоту модулирующего напряжения, определяют длительность сигнала или периода кривой исследуемого напряжения

Данные деталей осциллографа

Принципиальная схема осциллографа приведена на фиг. 3.

Данные деталей, примененных в осциллографе, следующие: Лампы L_1 — 6AB7, L_2 — 6SJ7, L_3 — 6AB7, L_4 — 6SJ7, L_5 — 6Ф6, L_6 — 6SJ7, L_7 — 6Х5, L_8 — 6Х6, L_9 — 906.

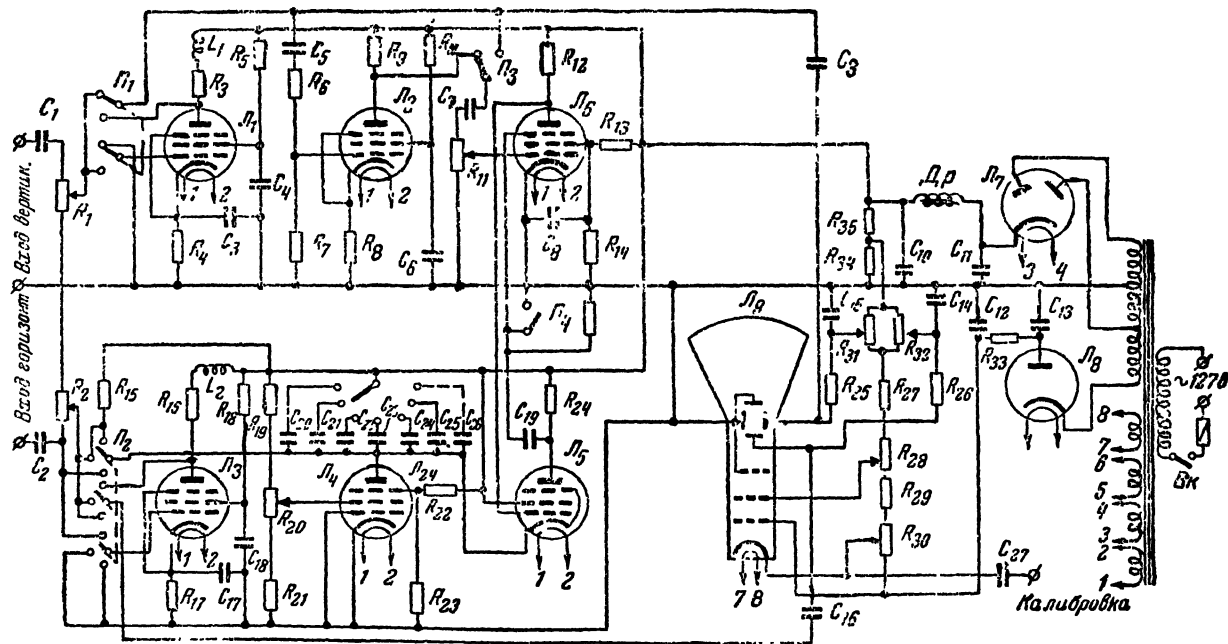
Силовой трансформатор Tr имеет следующие обмотки:

№ п/п.	Напряжение обмоток	Количество витков	Провод	Напряжение, в
1	Сетевая	600	ПЭ-0,35	127
2	Повышающая для питания анодов ламп	2×1 500	ПЭ-0,2	320×2
3	Дополнительная секция повышающей (для питания электроно-лучевой трубки) . .	1 500	ПЭ-0,2	320
4	Накальная для питания лампы схемы	33	ПЭ-1,5	6,3
5	То же кенотрона 6Х5	33	ПЭ-1,0	6,3
6	То же 6Х6	33	ПЭ-1,0	6,3
7	То же трубки	13	ПЭ-1,5	2,5

Дроссели высокой частоты L_1 и L_2 — по 600 мкгн.

Конденсаторы: C_1 — 0,1 мкф; C_2 — 0,1 мкф; C_3 — 100 мкф на 6 в; C_4 , C_5 и C_6 — по 1 мкф; C_7 — 1000 мкмкф; C_8 и C_9 — по 1 мкф; C_{10} — 20 мкф на 450 в; C_{11} — 10 мкф на 450 в; C_{12} и C_{13} — по 0,1 мкф; C_{14} и C_{15} — по 0,05 мкф; C_{16} — 1 мкф; C_{17} — 100 мкф на 6 в; C_{18} — 1 мкф; C_{19} — 0,1 мкф; C_{20} — 1 мкф; C_{21} — 0,1 мкф; C_{22} — 15 000 мкмкф; C_{23} — 3 000 мкмкф; C_{24} — 500 мкмкф; C_{25} — 160 мкмкф; C_{27} — 1 000 мкмкф на 1 000 в.

Сопротивления: R_1 — 1 мгом; R_2 — 2 мгом; R_3 — 10 000 ом; R_4 — 0,3 мгом; R_5 — 57 000 ом; R_6 — 1 мгом; R_7 — 50 000 ом; R_8 — 300 ом; R_9 — 15 000 ом; R_{10} — 0,25 мгом; R_{11} — 1 мгом; R_{12} — 0,1 мгом; R_{13} и R_{14} — по 0,15 мгом; R_{15} — 57 000 ом; R_{16} — 10 000 ом; R_{17} — 300 ом; R_{18} — 57 000 ом; R_{19} — 150 000 ом; R_{20} — 50 000 ом; R_{21} — 3 000 ом; R_{22} — 0,15 мгом; R_{23} и



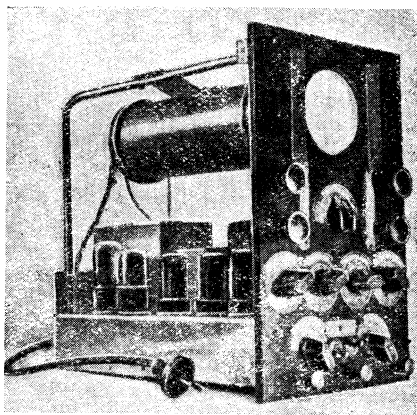
Фиг. 8. Полная принципиальная схема осциллографа с непрерывной и ждущей разверткой
К. А. Сотского.

R_{24} — по 5 000 ом; R_{25} и R_{26} — по 3 мгом; R_{27} — 150 000 ом; R_{28} — 0,5 мгом; R_{29} — 57 000 ом; R_{30} — 50 000 ом; R_{31} и R_{32} — по 0,5 мгом; R_{33} — 0,2 мгом; R_{34} и R_{35} — по 57 000 ом; R_{36} — 2 мгом.

Конструктивное оформление

Осциллограф собран на алюминиевом шасси размером $300 \times 160 \times 55$ мм. Общий вид его со снятым чехлом показан на фиг. 9.

На шасси размещены восемь ламп схемы, силовой трансформатор, дроссель фильтра и блок конденсаторов развертки. Все остальные детали, кроме переключателей и потенциометров управления, размещены под горизонтальной панелью. На середине вертикальной панели размещены все потенциометры регулировок и управления, переключатели и зажимы входа. Каждая ручка снабжена соответствующей надписью. В верхней части вертикальной панели имеется окно для экрана трубки, снабженное градуировочной сеткой. Схема трубки заключена в цилиндрический экран, который крепится к двум гнутым алюминиевым рейкам. Весь осциллограф заключен в деревянный ящик размером $310 \times 300 \times 185$ мм.



Фиг. 9. Общий вид осциллографа (со снятой крышкой) К. А. Сотскова.

Данные осциллографа

Чувствительность по вертикали: без усилителя — 0,4 мм/в, с усилителем — 15 мм/в.

Чувствительность по горизонтали: без усилителя — 0,37 мм/в, с усилителем — 14 мм/в.

Диапазоны частот развертки: от 2 гц до 400 кгц.

Полоса пропускания усилителей до 500—600 кгц.

Мощность, потребляемая от сети, — 55 вт.

ЗВУКОВОЙ ГЕНЕРАТОР

(Экспонат Н. М. Чупиро — г. Ленинград)

Для определения основных характеристик усилителей низких частот, громкоговорителей и звукозаписывающих аппаратов необходимы синусоидальные колебания звуковой частоты, калиброванные по двум параметрам: по частоте и по напряжению.

Источником таких синусоидальных колебаний является звуковой генератор.

Наиболее универсальным и вместе с тем простым звуковым генератором, удовлетворяющим по своим техническим данным и стоимости как лаборатории радиоклубов, так и отдельных радиолюбителей, являются звуковые генераторы типа РС.

Описываемый ниже звуковой генератор, сконструированный Н. М. Чупиро, относится именно к аппаратам этого типа.

Диапазон генератора от 20 до 20 000 *гц* перекрывается тремя поддиапазонами. При этом выходная мощность составляет около 1 *вт*. Коэффициент нелинейных искажений при максимальной мощности не превосходит 2%.

Выходное сопротивление 500 *ом*. Максимальное выходное напряжение 25 *в*, которое регулируется плавно в пределах от нуля до максимума. Делитель выходного напряжения имеет четыре положения: 20 *дб*, 40 *дб*, 60 *дб* и 80 *дб*.

Питание прибора производится от сети переменного тока 127—220 *в*.

Принципиальная схема генератора приведена на фиг. 10. Он состоит из двухкаскадного возбудителя, усилителя, выпрямителя и выходного делителя.

Возбудитель работает на лампах 6Ж7 и 6V6 (L_1 и L_2). С анода лампы 6V6 через электролитический конденсатор в 16 *мкф* и сопротивления R_1 , R_2 и R_3 подана положительная обратная связь на сетку лампы 6Ж7 (L_1).

В цепь отрицательной обратной связи входит лампочка накаливания 15 *вт* 220 *в* (L_3), которая служит для автоматической регулировки амплитуды напряжения, отдаваемого возбудителем.

Изменение частоты производится подключением сдвоенных емкостей C_1 и C_2 по 980 *мкмкф* каждая к сопротивлениям R_1 — R_4 , R_2 — R_5 , R_3 — R_6 . Сопротивления R_4 , R_5 и R_6 соединены последовательно с переменными сопротивлениями для точной подгонки частоты.

При различных положениях переключателя Π_1 можно получать следующие диапазоны частот: при первом от 20 до 200 гц; при втором от 200 до 2 000 гц и при третьем от 2 000 до 20 000 гц.

Колебания возбудителя попадают на сопротивления R_7 и R_8 ; первое из них является ограничительным, а со второго переменного напряжение снимается на выходной каскад.

Выходной каскад выполнен на лампе 6SN7 (L_3) по пуш-пульной схеме, что обеспечивает малые нелинейные искажения и уменьшает размеры выходного трансформатора. Инверсия производится в анодной цепи лампы 6SN7.

Выпрямитель собран по двухполупериодной схеме на кенотроне 5Ц4 (L_4). Для обеспечения хорошей фильтрации, фильтр выпрямителя взят двухзвенный с электролитическими конденсаторами по 16 мкф каждый.

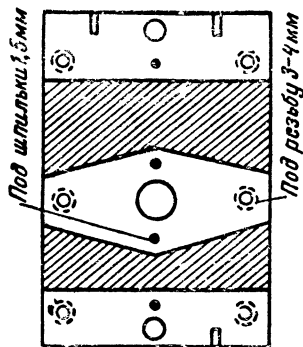
В генераторе применен широко распространенный агрегат конденсаторов от 6Н-1. Для хорошего перекрытия при сравнительно небольших величинах сопротивлений желательно применить блок с максимальной емкостью в пределах 800—1 000

мкмкф. В данной конструкции использованы два агрегата от 6Н-1 таким образом, что каждая из емкостей C_1 и C_2 состоит из одного сдвоенного переменного конденсатора, секции которого соединены параллельно.

Так как емкости C_1 и C_2 должны изменяться строго одинаково, то для этого на ось каждого конденсатора установлен эбонитовый шкив. Шкивы соединены между собой стальной тонкой лентой, закрепленной винтами в одной точке на каждом из шкивов. Таким образом, получается жесткое и надежное соединение обоих конденсаторов.

В конденсаторе C_1 ротор так же, как и статор, не должен соединяться с землей. Поэтому ротор электрически отсоединяется от корпуса путем замены упорного заднего винта на эбонитовый и удаления из передней стенки заштрихованной части, указанной на фиг. 11.

Данные трансформаторов и дросселя:

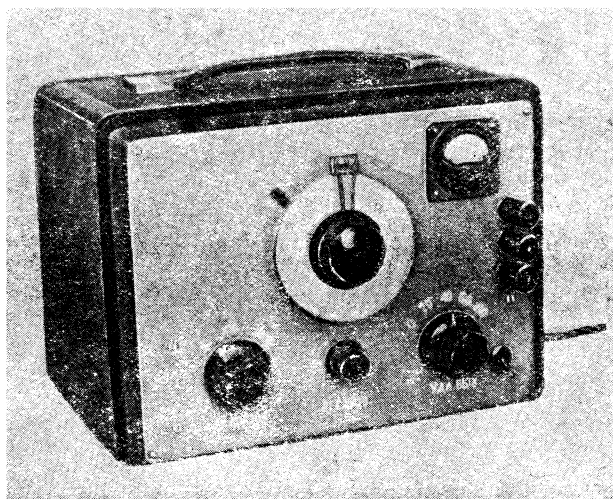


Фиг. 11. Деталь крепления ротора переменного конденсатора.

Наименование	Тип железа	Сечение см ²	Число витков	Диаметр прозолюки, мм
Силовой трансформатор	Ш-19 норм	8	2×(515+75) 2×1 200 24 29	0,33 0,15 1,0 1,0
Выходной трансформатор	Ш-19	6	2×2 000 600	0,1 0,3
Дроссель фильтра . .	Ш-19 укор.	4	3 000	0,25

При правильном выполнении монтажа схемы, прибор начинает работать сразу.

Величина нелинейных искажений зависит от величины обратной связи. Для ее подбора в схеме имеется переменное



Фиг. 12. Общий вид звукового генератора Н. М. Чупиро.

сопротивление R_9 . Нужно подобрать такую обратную связь, при которой колебания на всех диапазонах не срываются, а нелинейные искажения сводятся в минимуму. Окончательная

регулировка производится после того, как получены соответствующие перекрытия диапазонов. Перекрытия диапазонов подбираются сопротивлениями R'_4 , R'_5 и R'_6 . При переходе с диапазона на диапазон, при правильной установке сопротивлений напряжение на выходе остается постоянным.

Градуировка производится с помощью звукового генератора или осциллографа.

Прибор смонтирован на горизонтальном шасси, размерами $170 \times 240 \times 50$ мм и вертикальной передней панели размерами 250×190 мм; на последней установлены органы управления генератором.

На передней панели размещены лимб с градуировкой, переключатель диапазонов, ручка регулировки амплитуды, ручка удлинителя, измерительный купроксный прибор, включенный на вход удлинителя, выключатель прибора и зажимы выхода и земли.

На фиг. 12 показаны общий вид прибора и размещение органов управления на передней панели.

КУ-МЕТР

(Экспонат А. Б. Коренманч — г. Львов)

Качество катушки, являющейся основной частью колебательного контура, характеризуется отношением ее индуктивного сопротивления к активному. Это отношение называется добротностью катушки или множителем напряжения и обозначается обычно буквой Q («ку»). Приборы, предназначенные для измерения добротности катушек, получили поэтому название «ку-метров».

Этот вид приборов еще сравнительно мало известен нашим радиолюбителям, но они весьма полезны в радиолюбительских лабораториях, так как с их помощью можно определять не только добротность контурных катушек, но и индуктивность, емкость и собственную частоту контуров, а также производить ряд других измерений.

Описываемый ниже ку-метр, построенный А. Б. Коренманч, состоит из высокочастотного генератора (фиг. 13) с диапазоном частот от 100 кГц до 20 мГц, двух ламповых вольтметров, переключателя на различные виды измерений и выпрямителя со стабилизатором.

Генератор высокой частоты собран на выходном пентоде типа LS-50 по транзитронной схеме. Весь диапазон покрывается 8 катушками и переменным конденсатором с макси-

мальной емкостью 500 $\mu\text{кф}$. Изменение амплитуды напряжения высокой частоты осуществляется переменным сопротивлением в 300 ом , находящимся в цепи катода лампы LS-50.

Напряжение от генератора через конденсатор связи в 200 $\mu\text{кф}$ подается на емкостный делитель напряжения, а с него на резонансный контур.

В этот контур по желанию может быть введена или испытываемая катушка L_x , или конденсатор C_x , или же эталонная катушка L_s и конденсатор C_s . Подключение того или иного элемента осуществляется переключателем П.

Для измерения напряжения, получающегося на контуре генератора, служит ламповый вольтметр, собранный на двух лампах L_2 и L_3 . Первая из них работает в качестве анодного детектора, а вторая как усилитель постоянного тока.

В анодную цепь лампы 6Ф5 включен миллиамперметр со шкалой в 0,5 ма . Установка нуля миллиамперметра производится переменным сопротивлением 5 000 ом , ползунок которого соединен с одним из зажимов измерительного прибора. Для регулирования режима усилительной лампы служит потенциометр в 5 000 ом , находящийся в цепи катода этой лампы.

Выпрямитель собран по обычной двухполупериодной схеме на лампе ВО-188. Для того, чтобы исключить влияние колебаний напряжения сети в выходной части сглаживающего фильтра, установлен неоновый стабилизатор напряжения L_7 типа STV 280/40.

Данные всех деталей приведены на схеме.

Катушки генератора и эталонная катушка подбираются в зависимости от имеющегося конденсатора настройки и желаемого диапазона частот.

Измерение напряжения, получающегося на испытываемом контуре, производится с помощью второго лампового вольтметра, состоящего также из двух ламп — L_4 и L_5 . Он собран по точно такой же схеме, как и первый. Отношение показания второго вольтметра к показанию первого (с учетом коэффициента делителя) дает величину множителя вольтжа, т. е. добротность контура или испытываемой катушки.

При измерении добротности катушки последняя присоединяется к зажимам L_x и параллельно ей подключается эталонная емкость C_s . Генератор высокой частоты настраивается в резонанс с этим контуром, причем момент резонанса определяется по максимальному отклонению стрелки второго

вольтметра (лампы $L_4 — L_5$). Добротность определяется так же, как и в предыдущем случае.

Если шкалу генератора проградуировать в частотах, то, зная емкость эталонного конденсатора, нетрудно подсчитать индуктивность катушки.

Точно таким же образом можно определить емкость конденсатора. В этом случае к конденсатору подключается эталонная индуктивность L_9 . По величине этой индуктивности и резонансной частоте генератора находят измеряемую емкость конденсатора.

Данный прибор можно также использовать для измерения резонансной частоты любого колебательного контура. Индуктивность, входящую в этот контур, присоединяют к зажимам L_x , а емкость — к зажимам C_x и настраивают генератор в резонанс. Резонансная частота контура определяется по шкале настройки генератора.

Для проверки и градуировки прибора используются эталонные индуктивность L_9 и емкость C_9 . Генератор настраивают в резонанс с контуром, образованным из этих элементов, и показание шкалы генератора сравнивают с собственной частотой контура $L_9 — C_9$.

Обращение с прибором очень просто. Отклонение измеренных величин от действительных не превосходит 15%, что можно считать вполне допустимым при большинстве радиолюбительских измерений.

МЮ-МЕТР

(Экспонат В. Н. Саврасова и С. Е. Гаинцева — г. Барнаул)

В практике работы радиолaborаторий и консультаций радиоклубов иногда бывает необходимо проверить качество трансформаторной стали, стали для постоянных магнитов, или произвести какие-либо иные магнитные измерения.

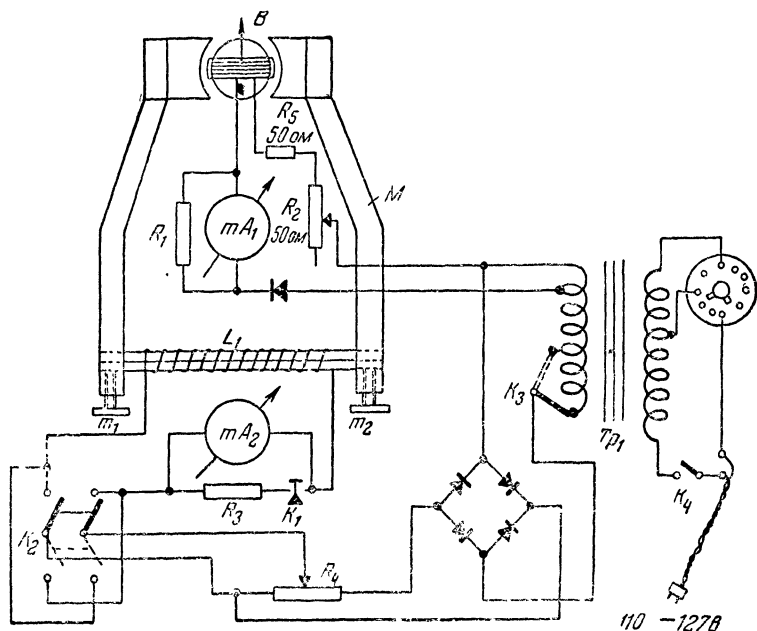
Этим задачам отвечает прибор, разработанный барнаульскими радиолюбителями В. Н. Саврасовым и С. Е. Гаинцевым, который назван ими «мю-метр».

Предлагаемый авторами прибор позволяет снять первоначальную кривую намагничивания, построить петлю гистерезиса, найти коэрцитивную силу, остаточный магнетизм, магнитную индукцию насыщения, а также построить кривую изменения магнитной проницаемости в зависимости от намагничивающих ампервитков.

Данный прибор назван мю-метром, так как его шкалу мож-

но проградуировать по величине магнитной проницаемости μ или по величине магнитной индукции B , которая является функцией магнитной проницаемости.

Для постройки прибора использован механизм от щитового вольтметра магнито-электрической системы, из которого удален постоянный магнит.



Фиг. 14. Принципиальная схема мю-метра В. Н. Саврасова и С. Е. Гаинцева.

Схема мю-метра изображена на фиг. 14. Принцип работы ее сводится к следующему.

Испытанию подвергается стальной стержень или стопка полосок стали длиной 90 мм, шириной 14 мм и толщиной 2,4 мм. Для трансформаторной стали необходимо взять столько полосок, чтобы общая толщина их составила 2,4 мм. Изготовленный таким путем образец вводится внутрь катушки L_1 и замыкает ярмо M , которое изготовляется из мягкой стали с минимальной коэрцитивной силой. Винты m_1 и m_2 обеспечивают плотное прилегание образца к ярму. Ярмо привинчено к полюсным наконечникам прибора. Таким образом магнитное поле постоянного магнита заменяется магнитным

полем катушки L_1 со стальным сердечником, роль которого играет испытываемый образец. Рамка прибора B будет отклоняться при протекании по ней тока. Как известно, угол отклонения стрелки прибора магнитоэлектрической системы вычисляется по формуле

$$\alpha = kIB,$$

где B — магнитная индукция; I — сила тока в рамке; k — так называемая постоянная прибора. Формула остается справедливой и для нашего прибора. В эту формулу легко ввести размеры сечения испытываемого образца. Формула принимает вид $\alpha = k_1 BIS$, где α — угол отклонения стрелки прибора; K_1 — постоянная прибора; I — сила тока в рамке; B — магнитная индукция; S — площадь сечения образца.

Рассмотрим простой случай, когда в цепи рамки поддерживается строго постоянная сила тока I и производится измерение образцов постоянного сечения S , тогда

$$\alpha = k_{np} B,$$

где k_{np} — постоянная прибора.

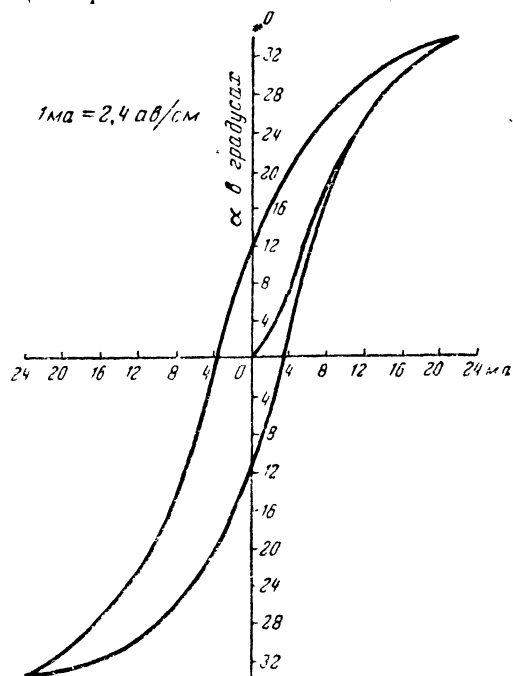
Таким образом, шкалу прибора можно градуировать в единицах магнитной индукции, например в гауссах. Для наблюдения за силой тока в цепи рамки служит миллиамперметр mA_1 с шунтом. В цепи рамки реостатом R_2 поддерживается постоянная сила тока. Реостат, таким образом, осуществляет корректировку прибора при колебаниях напряжения сети. Миллиамперметр mA_2 на 25 *ма* с нулем по середине шкалы и шунтом включен в цепь катушки подмагничивания и показывает силу тока в катушке L_1 . Как известно, намагничивающий ток для тонкого длинного соленоида можно приближенно считать пропорциональным напряженности магнитного поля; следовательно, миллиамперметр mA_2 можно градуировать в ампервитках на сантиметр или в эрстедах.

Регулировка силы тока в катушке подмагничивания осуществляется потенциометром R_4 , а перемена направления тока переключателем K_2 , который представляет собой одноплатный переключатель, применяемый в радиоприемниках.

При измерении малых коэрцитивных сил сила тока в цепи катушки подмагничивания мала; в этих случаях для облегчения производства измерений шунт R_3 отключается кнопкой K и прибор mA_2 работает как миллиамперметр со шкалой до

5 ма. При этом для уменьшения напряжения переключатель K_3 устанавливается в верхнее положение.

Цепь подмагничивания получает постоянный ток от купроксного выпрямителя, собранного по двухпериодной схеме. Цепь рамки питается от отдельного купроксного элемента.



Фиг. 15. Кривая намагничивания мягкой стали, снятая мю-метром В. Н. Саврасова и С. Е. Гаинцева.

ПМ-70 путем удаления добавочного сопротивления и подбора шунта на указанную силу тока; mA_2 — миллиамперметр со шкалой до 5 ма с нулем по середине, типа ПМ-70; с шунтом он измеряет ток до 25 ма.

Понижающий трансформатор собран на железо Ш-20; толщина пакета 30 мм. Сетевая обмотка намотана проводом ПЭ-0,27 и имеет 1 270 витков с отводом от 1 100 витков. Вторичная обмотка имеет 300 витков с отводами от 45 до 120 витков; провод ПЭ-0,3.

Выпрямитель для подмагничивания собран по двухполупе-

Прибор снабжен переключателем для переключения первичной обмотки трансформатора со 127 в на 110 в.

Данные деталей, входящих в схему, следующие.

Ярмо состоит из двух полос стали сечением 2 см² и длиной 140 мм каждая. Катушка подмагничивания L_1 имеет 17 000 витков провода ПЭ-0,22 и намотана на каркасе длиной 80 мм с внутренним окном 2,5×15 мм.

Потенциометр проволоочный R_3 на 2 000 ом.

Приборы: mA_1 — миллиамперметр со шкалой на 30 ма; он переделан из вольтметра на 15 в типа

риодной схеме. В каждом плече поставлено по 4 купроксных пластины с внутренним диаметром 7 мм и наружным—20 мм. Для питания рамки применен купроксный выпрямитель с одной пластиной того же размера.

Весь прибор собран в ящике размером $200 \times 180 \times 120$ мм. Вес прибора — около 4,5 кг.

Прибор должен быть проградуирован по образцу стали, данные о которой даны в ГОСТ или получены из какой-либо лаборатории. При отсутствии такого образца деления на шкалу прибора *B* можно нанести в градусах.

Перед испытанием пробу надо размагнитить в отдельном размагничивающем соленоиде; при малой коэрцитивной силе это можно осуществить и в самом приборе, путем многократного переключения тока в подмагничивающем соленоиде переключателем *K* с постепенным ослаблением тока потенциометром.

Снятая этим прибором кривая намагничивания листов мягкой стали показана на фиг. 15.

КАТОДНЫЙ ВОЛЬТМЕТР

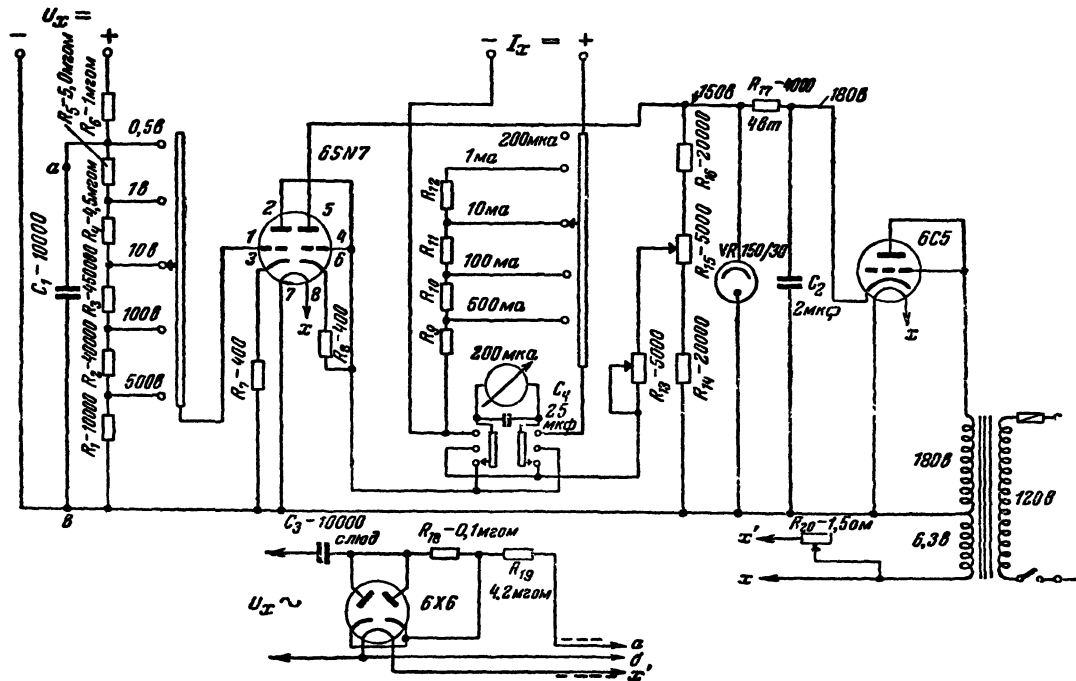
(Экспонат *Е. А. Нехаевского* — г. Москва)

Описываемый катодный прибор объединяет в себе вольтметр постоянного тока с пределами измерения в 0,5—1,0—10—100—500 в, вольтметр переменного тока с теми же пределами для частот от 30 гц до 20 мггц и миллиамперметр с пределами измерения в 0,2—1,0—10—100—500 ма. Прибор предназначен для налаживания радиоаппаратуры и проверки режимов ламп.

Схема

В основу прибора положена мостовая ламповая схема (фиг. 16). По существу — это два каскада, включенные последовательно, причем анодной нагрузкой первого триода, воспринимающего сигнал, служит идентичный второй триод. Такая схема обладает определенными преимуществами перед другими схемами ламповых вольтметров: линейностью показаний измерительного прибора и независимостью показаний от напряжения сети. Кроме того, схема допускает использование грубого прибора на выходе или же расширение пределов измерения в область малых величин напряжения.

В приборе применена лампа типа 6SN7, что выгодно с точки зрения уменьшения числа ламп. Но лучше взять две



Фиг. 16 Схема катодного вольтметра Е. А. Нехаевского.

лампы типа 6Ж5. В этом случае, изменяя накал одной из них, можно легко получить идентичность характеристик, что обеспечивает более полную балансировку, а следовательно, и независимость отсчетов от колебаний напряжения сети.

В описываемом приборе влияние колебаний напряжения сети снижено путем использования неоновых стабилизаторов напряжения VR-150/30. Для уменьшения влияния сеточных токов и увеличения долговечности измерительной лампы напряжение накала снижено. Обмотка накала кенотрона (лампа 6С5), измерительной лампы и диода в пробнике — общая на 6,3 в, но подводка к части ламп сделана через реостат из манганинового провода, который гасит напряжение до 5,8 в.

Напряжение с диагонали моста снимается на магнито-электрический измерительный прибор со шкалой в 200 мкА, подключаемый через трехпозиционный переключатель. Нижнему положению его соответствует включение измеряемого напряжения плюсом на сетку 6SN7, что бывает необходимо при измерениях высокого напряжения на анодах и экранных сетках ламп. Наоборот, при измерении смещения на управляющих сетках переключатель необходимо поставить в среднее положение и на сетку 6SN7 подавать минус. Этому положению соответствует также измерение напряжений переменного тока посредством отдельного пробника с диодом, включаемым при измерении через специальную фишку.

В третьем положении переключателя прибор работает как миллиампер; при этом измерительный прибор подключается к соответствующим шунтам. Для переключения шунтов использована вторая половина платы основного переключателя пределов измерения.

Сопротивление катодного вольтметра на всех пределах составляет 11 мгом; из них 10 мгом входят в делитель, а 1 мгом включается в пробник для устранения влияния емкости соединительных проводников на работу контуров исследуемого аппарата.

Для установки на нуль служит потенциометр R_{15} на 5 000 ом. Им приходится пользоваться при работе на малых пределах измерений в 0,5 и 1,0 в. В этом случае начинают уже сказываться сеточные токи. Влияния их легко избежать путем увеличения сопротивлений смещения R_7 и R_8 . Однако, чувствительность схемы при этом снижается. В описываемом приборе выбраны некоторые средние условия.

Напряжения переменного тока измеряются посредством диодного выпрямителя. В качестве его взята лампа 6Х6. Это

позволило использовать второй диод для компенсации начального тока. Сопротивление R_{18} подбирается для данного экземпляра 6Х6 и может иметь величину от тысячи до сотни тысяч Ω . Принцип компенсации начального тока ясен из схемы. Накал 6Х6 при замене ее новой может регулироваться переменным сопротивлением R_{20} .

Входная емкость высокочастотного пробника с лампой 6Х6 составляет около 30 $\mu\text{мкф}$.

Конструкция

Передняя панель, субпанель для ламповых панелек и футляр выполнены из дюрала.

Выключатель сети расположен внизу на оси симметрии панели. Над ним помещен трехпозиционный переключатель рода работы.

Измерительный прибор взят со шкалой на 200 $\mu\text{ка}$. Он врезан в верхней части панели. Слева от него установлен одноплатный переключатель пределов с фарфоровой платой на 5 положений, а справа расположен потенциометр установки нуля. Левая пара зажимов служит для измерения напряжения постоянного тока. Нижний зажим соединен с массой прибора, а верхний через сопротивление R_6 в 1 $\text{м}\Omega$ — с делителем напряжения. Правая пара зажимов предназначена для измерения постоянных токов. Зажимы имеют изоляцию в виде точечных втулок из авиастекла.

В левой стороне футляра имеется круглое отверстие для включения переходной фишки высокочастотного пробника, сделанной из цоколя от металлической лампы. Диод 6Х6 заключен в пластмассовый корпус, закрытый крышкой из авиастекла, на который укреплен штепсель включения измеряемого напряжения. Конденсатор C_1 — слюдяной безиндукционный типа САМ. Соединительный кабель — трехжильный в панцyrной оплетке. Провод, идущий от анодов диода, заключен дополнительно в панцyrный чулок.

Входной делитель напряжения составлен из угольных сопротивлений, смонтированных на изоляционной панельке. Сопротивления универсального шунта сделаны из манганина различного сечения. Шунт для предела измерений в 500 ма состоит из кусочка манганина диаметром 0,5 мм , на который напаяны бусины. Остальные шунты намотаны бифилярно на сопротивлениях типа ТО.

На боковых станках шасси укреплены переменные сопротивления R_{20} и R_{13} .

Все постоянные сопротивления, за исключением сопротивлений делителя и высокочастотного пробника, — проволочные.

Силовой трансформатор имеет сечение стали около $3,5 \text{ см}^2$.

Работа с прибором

Прибор рассчитан на питание от сети переменного тока 120 в. Прогревание прибора занимает около 10 мин., хотя ответственные измерения могут проводиться и через 1—2 мин. после включения.

Установка нуля производится ручкой «установка нуля». При этом полезно закорачивать входные зажимы для устранения случайных наводок.

Основная шкала прибора имеет 100 делений. По ней ведутся отсчеты при измерении токов и напряжений постоянно-го тока, а также напряжения переменного тока для пределов 500 и 100 в. Пределы измерения переменного тока в 10, 1 и 0,5 в имеют соответственно три шкалы, расположенные ниже основной шкалы одна под другой.

При измерении напряжения переменного тока заблаговременно (для прогрева лампы) вставляется фишка соединения с высокочастотным пробником. Следует обратить внимание на правильное включение сеточного вывода пробника. Он не должен соединяться с корпусом испытуемой схемы.

Прибор снабжен проводниками со штепселями и «кроко-дилами».

Измерение постоянных токов производится обычным способом. Следует помнить, что в случае применения переключателя без перекрывающего контакта (как это имеет место в данном приборе), в момент переключения с предела на предел ток большой величины идет помимо шунта только через высокочувствительный прибор, который в этом случае может быть испорчен. Поэтому трехпозиционный переключатель следует до переключения пределов поставить в среднее положение.

Погрешность на всех шкалах составляет не более $\pm 3\%$. Изменение напряжения сети в пределах $\pm 10\%$ не сказывается заметно на показаниях прибора.

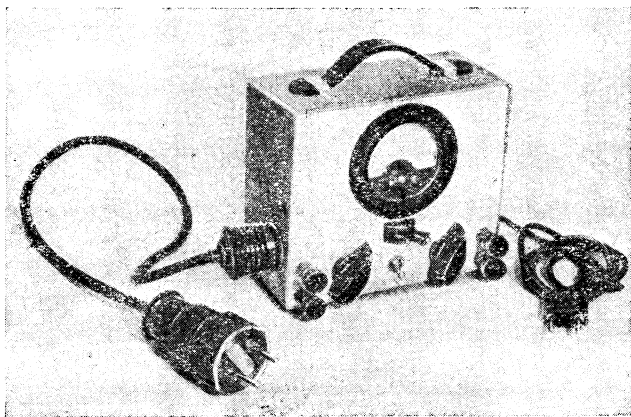
Габариты катодного вольтметра $170 \times 150 \times 110 \text{ мм}$. Потребляемая мощность его около 17 ватт.

Общий вид прибора показан на фиг. 17.

Описываемый катодный вольтметр был построен некоторыми из московских радиолюбителей. Один из них т. Аудер внес

несколько упрощений в схему и конструкцию прибора. Эти изменения могут представлять интерес для конструктора, решившего построить подобный прибор; поэтому остановимся на них вкратце.

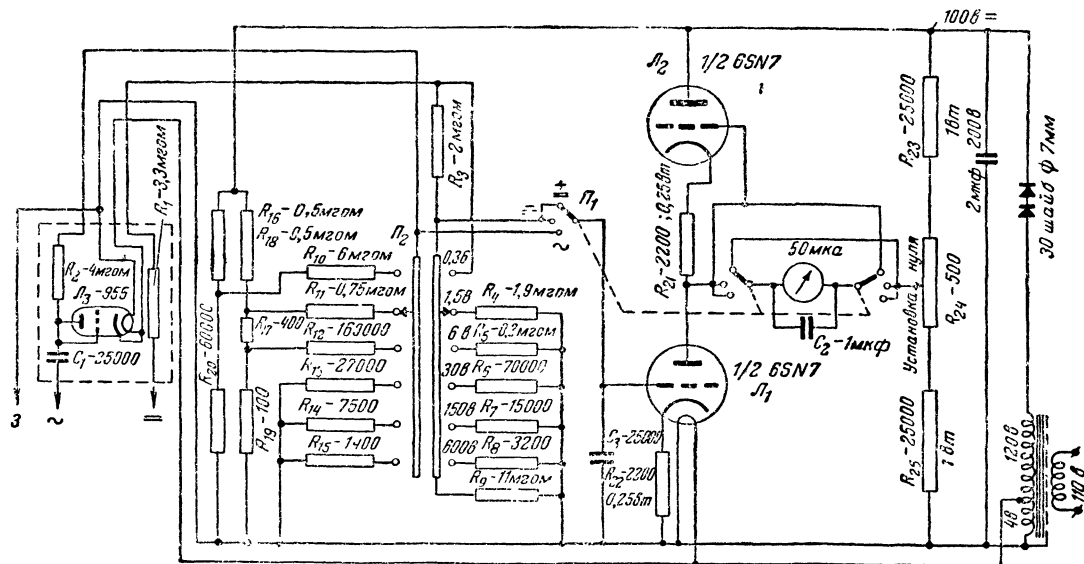
Изменению в основном подверглись выпрямительная и входная части (пробник и сеточный делитель) (фиг. 18). Отличительной особенностью этой схемы является внесение в пробник щупов для измерения как постоянного, так и переменного напряжения, причем переход на другой вид измерений



Фиг. 17. Общий вид катодного вольтметра
Е. А. Нехаевского.

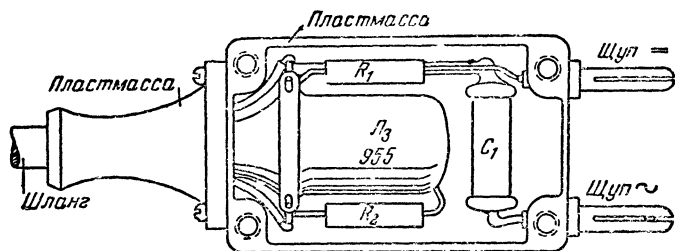
производится лишь одним переключателем, благодаря чему значительно упрощается пользование прибором. Земляной провод выводится отдельно от пробника и оканчивается зажимом типа «крокодил».

Пробник (фиг. 19) смонтирован в маленьком пластмассовом футляре. В нем находятся: лампа L_3 типа 955, используемая в качестве диода, конденсатор C_1 и сопротивления R_1 и R_2 , необходимые для устранения влияния емкости проводов шланга, идущего к пробнику. Сеточный делитель измеряемых напряжений, в отличие от ранее описанной схемы, делается отдельно как для переменных, так и постоянных напряжений. Для постоянных напряжений он составлен из сопротивлений R_1 и R_3 и из одного из сопротивлений R_4, R_5, R_6, R_7, R_9 в зависимости от предела измерений, с которого снимается напряжение на сетку



Фиг. 18. Схема катодного вольтметра со шкалами 0,3-600 в т. Аудер.

лампы \mathcal{L}_1 . Такое построение делителя обеспечивает возможность независимой подгонки шкалы вольтметра для каждого предела измерений путем подбора сопротивлений $R_4—R_9$, что значительно упрощает наладку прибора. Для переменных напряжений делитель состоит из сопротивлений R_2 и $R_{10}—R_{15}$. Сопротивления $R_{16}—R_{20}$, величины которых подбираются, служат для подачи на сетку \mathcal{L}_1 положительного смещения, компенсирующего отрицательный потенциал на аноде \mathcal{L}_3 , вызванный протеканием начального тока. Напряжение с делителей



Фиг. 19. Расположение деталей в пробнике (крышка снята).

подключается переключателем Π к сетке \mathcal{L}_1 в зависимости от рода измерений.

Переключатель типа 6Н1 (двухплатный) имеет 3 положения.

- 1) измерение переменных напряжений;
- 2) измерение отрицательных постоянных напряжений;
- 3) измерение положительных постоянных напряжений.

Поле переключателя цепи сетки монтируются на отдельной плите с целью разделения от цепей высокого напряжения. В схеме выпрямителя в целях ее упрощения изъяты сопротивление фильтра и стабилит. Кроме того, примечена однополупериодная схема, позволяющая уменьшить габариты выпрямителя. Получающееся некоторое ухудшение фильтрации переменной составляющей выпрямителя не сказывается заметно на работе вольтметра, так как микроамперметр шунтирован конденсатором C_2 . Для увеличения стабильности усилителя постоянного тока введена глубокая отрицательная обратная связь (увеличены сопротивления R_{21} и R_{22}). В приборе применен более чувствительный микроамперметр (50 $\mu\text{а}$), что дало возможность установить следующие шкалы измерений: 0,3 в, 1,5 в, 6 в, 30 в, 150 в, 600 в. Шкала прибора — общая для

всех пределов как на постоянном, так и на переменном токе. Погрешность на всех шкалах, кроме шкалы 0,3 в, не более 3%.

Напряжение накала ламп значительно снижено для увеличения срока службы ламп.

Введенные в схему упрощения делают прибор более простым в изготовлении и наладке и лишь в небольшой степени снижают его точность.

УНИВЕРСАЛЬНЫЙ КАТОДНЫЙ ВОЛЬТМЕТР

(Экспонат В. А. Ивачова — г. Москва)

Универсальный катодный вольтметр, разработанный московским радиолюбителем В. А. Ивановым, дает возможность производить широкий комплекс измерений во всех встречающихся в практике видах радиоаппаратуры, работающей в диапазоне от 20 гц до 125 мгц. В соединении с сигнал-генератором этот прибор позволяет производить тщательное налаживание самой разнообразной аппаратуры.

Постройка универсального катодного вольтметра не представляет особой сложности и вполне доступна большинству радиолюбителей.

Прибор дает возможность измерять:

Напряжение постоянного тока в пределах от десятых вольта до 2 400 в. Входное сопротивление на всех шкалах выше 50 мгом.

Напряжение переменного тока в пределах от десятых вольта до 2 400 в при входной емкости ниже 5 мккф.

Сопротивления в пределах от десятков ом до 2 000 мгом.

Силу тока в пределах от десятков микроампера до 12 а.

Усиление и ослабление в децибелах в пределах от 10 до +50 дб.

Частотный диапазон измерений вольтметра лежит в пределах от 20 гц до 125 мгц, причем на частотах от 20 гц до 70 мгц влияние частоты не превышает 1%. Входное сопротивление на этих частотах около 6,5 мгом. На более высоких частотах вольтметр завышает показания не более чем на 2,5—3%.

При изменении напряжения питающей сети от 120 до 95 в погрешность не превышает 1,5—2%.

Схема прибора

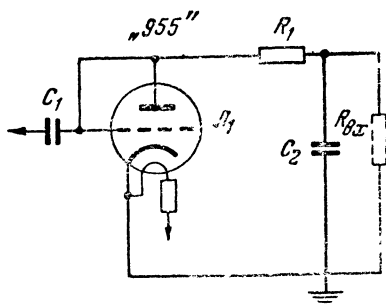
Принципиальная схема вольтметра изображена на фиг. 20. При подведении переменного напряжения высокой частоты к игле пробника конденсатор C_1 будет заряжаться через диод \mathcal{L}_1 —«жолудь» 955, включенный диодом до тех пор, пока напряжение на нем не станет равным пиковому значению подведенного напряжения (эта часть схемы показана на фиг. 21).

По окончании заряда конденсатора C_1 ток, проходящий через диод \mathcal{L}_1 , прекращается. Затем конденсатор начинает медленно разряжаться через сопротивление R_1 и R_{ex} и внешнюю цепь, из которой подводится переменное напряжение. При положительном полупериоде подводимого напряжения высокой частоты диод \mathcal{L}_1 снова начинает работать и конденсатор C_1 вновь накопит ту часть своего заряда, которую он потерял во время разряда на сопротивления R_1 и R_{ex} .

Постоянная времени при этом должна быть выбрана достаточно большой. При емкости конденсатора C_1 500 мкмкф на частотах ниже 100 кГц напряжение, выпрямленное пробником, начинает падать и на 50 гц отличается от пикового значения измеряемого напряжения приблизительно на 20%. Это явление происходит оттого, что на низких частотах постоянная времени конденсатора C_1 и сопротивлений R_1 и R_{ex} оказывается слишком малой.

Для устранения этого явления на низких частотах, где входная емкость не имеет большого значения, пробник имеет контакт, который подключает к диоду \mathcal{L}_1 вместо конденсатора C_1 конденсатор значительно большей емкости. Благодаря этому конденсатор C_1 сохраняет большую часть своего заряда, равную почти пиковому значению подводимого переменного напряжения в течение всего отрицательного полупериода.

Конденсатор C_2 служит для отвода переменной слагающей. Для сглаживания пульсаций служат сопротивление R_{41} и конденсатор C_4 . Сопротивления подобраны так, что на левую сетку усилительной лампы \mathcal{L}_2 подается постоянная составляющая, равная по величине эффективному значению переменного



Фиг. 21. Схема пробника.

напряжения при синусоидальной его форме. Это сделано для того, чтобы получить совпадения шкал по постоянному и переменному току.

Сопротивление входного делителя вольтметра ($R_8—R_{13}$) равно 50 мгом. При невозможности приобретения таких больших по величине сопротивлений величины сопротивлений, входящих в делитель, можно пересчитать по формуле

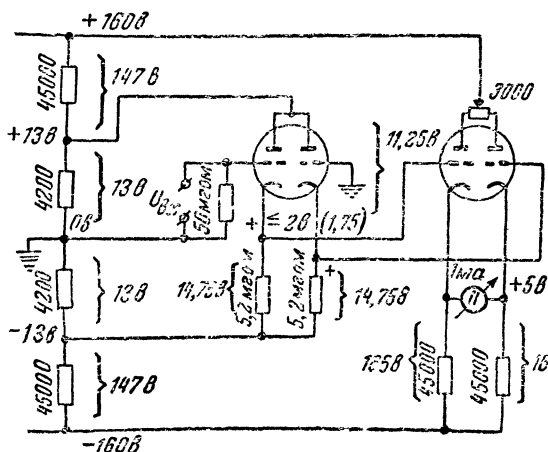
$$R_{отв} = \frac{U_{мин} R_{вх}}{U_{изм}},$$

где $R_{отв}$ — сопротивление между нижним концом потенциометра и отводом в ом;

$R_{вх}$ — входное сопротивление вольтметра (делителя $R_8—R_{13}$) в ом;

$U_{изм}$ — желательная чувствительность шкалы в в;

$U_{мин}$ — полная чувствительность 1-й шкалы (в данном вольтметре равная 1,5 в) в в.



Фиг. 22. Упрощенная схема усилителя в катодном вольтметре В. А. Иванова.

Постоянная составляющая напряжения на сопротивлениях $R_2—R_5$ задает на левую сетку усилительной лампы L_2 отрицательный потенциал, что вызывает уменьшение анодного тока этой лампы. Так как ток может уменьшаться только до нуля, то сеточная цепь усилительной лампы L_2 может выдерживать длительные и значительные перенапряжения.

Упрощенная схема усилителя с указанием напряжений изображена на фиг. 22. Для получения малого сеточного тока, линейности шкалы и независимости от разбросов в параметрах ламп, в вольтметре применен 2-каскадный усилитель постоянного тока с катодной связью, где обе лампы работают при сильной отрицательной обратной связи. Первая лампа, кроме того, имеет значительно заниженное напряжение на аноде. Поэтому ее сеточный ток равен нулю, вследствие чего входное сопротивление получается очень большим.

Смещение на сетке усилительной лампы L_2 (образуемое разностью напряжений на сопротивлениях R_{20} и R_{39}) равно 1,75 в.

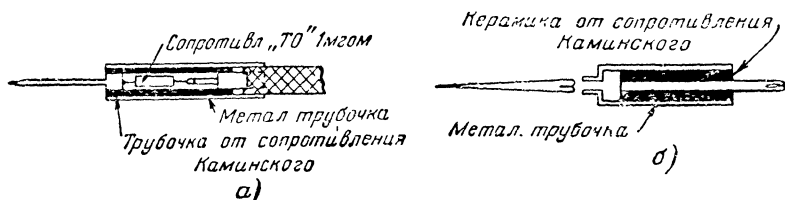
При уменьшении анодного тока в левой половине лампы L_2 происходит уменьшение падения напряжения на сопротивлении R_{20} , что в свою очередь вызывает увеличение смещения на левой сетке лампы R_3 , начальное смещение которой равно алгебраической сумме падений напряжений на сопротивлениях R_{20} , R_{40} и R_{35} минус 3,25 в.

Увеличение смещения на левой сетке лампы L_3 вызовет уменьшение анодного тока этой половины лампы. Тогда баланс моста, составленного из двух триодов лампы L_3 и сопротивлений R_{35} и R_{36} , будет нарушен, через миллиамперметр потечет ток и его стрелка отклонится. Если не принять специальных мер, то за счет начального тока диода L_1 стрелка прибора отклонится на некоторую величину, хотя никакого переменного напряжения на вход вольтметра и не будет подано. Отклонение будет наибольшим на первом диапазоне (1,5 в). Для устранения этого явления в схему введен добавочный диод L_4 , потенциал с которого при измерениях переменного напряжения подается на правую сетку L_2 и после усиления на правую сетку L_3 . Благодаря этому стрелка прибора остается на нуле на всех диапазонах.

Сопротивления делителя напряжения диода L_4 (R_2 — R_5) должны находиться в тех же отношениях, что и сопротивления входного делителя. Для первоначальной регулировки величины потенциала, необходимой вследствие неоднородности ламп, служит реостат R_{42} , ось которого выведена под шлиц; регулировка производится только при смене какой-либо из ламп.

При измерении постоянных напряжений в тех частях испытываемой схемы, где пользование длинными щупами может привести к расстройке схемы, применяется специальный экранированный щуп с вделанным на конце сопротивлением в 1 мгом (фиг. 23,а).

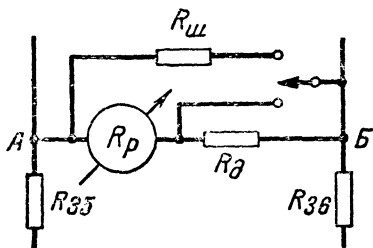
При измерении переменных напряжений в тех схемах, где входная емкость прибора все же вносит расстройку, игла пробника вынимается и вместо нее вставляется переходной конденсатор (фиг. 23,б). Входная емкость вольтметра и его чувствительность при этом уменьшаются вдвое.



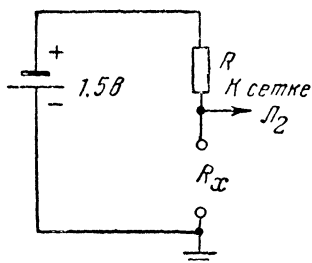
Фиг. 23. Щуп и входной добавочный конденсатор.

Для расширения пределов измерений до 2 400 в, а также для точного измерения напряжений или силы тока, немного превышающих основной диапазон, применяется переключатель, с помощью которого можно каждый диапазон измерений расширить в 2 раза (фиг. 24).

Обязательным условием для совпадения градуировки, как на шкалах измерений силы тока, так и при измерениях на-



Фиг. 24. Схема для расширения диапазона измерений.



Фиг. 25. Упрощенная схема прибора при измерении сопротивлений.

пряжений, является равное в обоих положениях переключателя сопротивление между точками А и Б.

Для этого в схему введены два сопротивления $R_{ш}$ и $R_{д}$.

В первом случае между точками А и Б включено только сопротивление рамки прибора, т. е. 300 ом; во втором случае результирующее сопротивление между А и Б равно также 300 ом.

При измерении сопротивлений входная цепь прибора принимает вид, упрощенно показанный на фиг. 25.

Весь прибор при измерении сопротивлений переключается на измерение полсжительных постоянных напряжений на шкале в 1,5 в. Таким образом, при закорачивании щупов стрелка будет находиться на нуле, а при размыкании их — на максимуме, что соответствует отметке ∞ . Измеряемое сопротивление служит утечкой левой сетки L_2 .

Прибор работает на лампах: 955 (2 шт.), 6SN7 (2 шт.) и кенотроне 5Ц4С.

Лучше всего применять переключатели, собранные на керамике. Конденсаторы, входящие в схему, предварительно должны быть проверены с помощью омметра этого же прибора на утечку. Панельки для ламп усилителя желательно брать керамические. Силовой трансформатор может быть применен любого типа, экранированный, на мощность в 40 вт

Донышко пробника, на котором прикреплена игла, сделано из полистирола, но вполне можно применить и авиастекло.

Лампы-«жолуди» можно заменить одной лампой 6Х6, однако при этом входная емкость прибора увеличится до 8 мкмкф. При такой замене с лампы 6Х6 должен быть снят цоколь.

Реостаты R_{22} — R_{26} должны быть хорошо изолированы от корпуса. В качестве измерительного прибора взят миллиамперметр, дающий полное отклонение стрелки при токе в 1 ма.

Рассмотрим налаживание вольтметра.

Обычно схемы, в которой встречаются величины сопротивлений порядка двух-трех десятков мгом, пугает радиолюбителя, так как найти точные сопротивления такой величины трудно, а проверить их на величину нет возможности, ибо у радиолюбителя обычно бывает омметр на диапазон только до нескольких тысяч ом. Именно на наличие у радиолюбителя такого омметра и рассчитан описываемый метод налаживания.

Для налаживания прибора необходимо в первую очередь приобрести следующие сопротивления: R_{21} , R_{35} , R_{36} , R_{37} , R_{38} , R_{39} , R_{40} , два потенциометра R_{33} и R_{34} и одно из сопротивлений диапазона омметра, лучше всего R_{14} (10 ом $\pm 1\%$), так как его наиболее легко изготовить самостоятельно. Все перечисленные выше сопротивления должны иметь допуски не более $\pm 5\%$. Если эти сопротивления будут подобраны правильно и все соединения в монтаже сделаны без ошибок, то прибор сразу заработает; нужно будет только отрегулировать напряжение, даваемое выпрямителем на величину в 320 в.

Первоначально налаживается шкала омов $0 - 2\,000\text{ ом}$. Для этого аппарат включают в сеть, переключатель ставят в положение Ω и проверяют при замкнутых щупах установку прибора на нуль. Невозможность установки стрелки на нуль укажет на неправильный подбор величин сопротивлений R_{35} и R_{36} или неравный ток в правой и левой половине лампы L_3 . Далее размыкают щупы и, вращая рукоятку Ω , ставят стрелку прибора на максимальное отклонение по шкале, что соответствует ∞ (бесконечность). После этого приступают к градуировке шкалы омов на первом диапазоне ($0 - 2\,000\text{ ом}$).

Этот диапазон градуируется с особой точностью, так как от него зависит точность градуировки на других диапазонах, а следовательно, и правильность показаний всего аппарата в целом.

Далее, воспользовавшись отградуированной шкалой, можно приступить к подбору величины сопротивления R_{15} ($100\text{ ом} \pm \pm 1\%$) для следующего диапазона $0 - 20\,000\text{ ом}$.

Подбирая сопротивление для каждого последующего диапазона, желательно составлять его из двух отдельных сопротивлений в 2 раза меньшей величины и включать их в схему последовательно. Это значительно уменьшает ошибку в отсчете. В дальнейшем сопротивления могут быть заменены на одинарные.

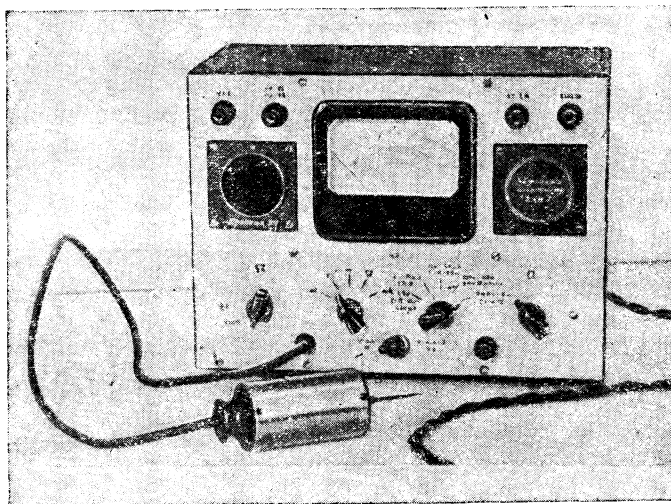
Процесс подбора сопротивлений повторяется до тех пор, пока сопротивления $R_{14} - R_{19}$ не будут подобраны.

Далее следует приступить к подбору сопротивлений входного делителя ($R_8 - R_{13}$), а затем и к подгонке шкал постоянного тока. Если делитель подобран хорошо, то все налаживание сводится к подгонке конца полуторавольтовой шкалы с помощью потенциометра R_{22} . Остальные диапазоны совпадут автоматически, так как все шкалы постоянного тока совершенно равномерны и их разметка может быть произведена заранее с помощью циркуля.

После этого можно вставить щуп на входное сопротивление 100 мгом , переключить прибор на измерение постоянных напряжений и руководствуясь фиг. 22 проверить все напряжения, за исключением левых катодов L_2 и L_3 . Для измерения этих напряжений необходимо поменять местами сетки лампы L_2 и переключить прибор на измерение напряжений с обратным знаком. При всех этих измерениях за нулевой потенциал нужно принять корпус прибора (земля), а напряжения отсчи-

тивать с положительным и отрицательным знаком. Пользоваться нужно только одним щупом.

После налаживания диапазонов постоянных напряжений следует перейти к шкалам переменных напряжений. Пробник должен быть вставлен в прибор. Переключив прибор на измерение \sim , при помощи реостата R_{42} возвращают стрелку на нуль. После этого приступают к градуировке первой шкалы перемен-



Фиг. 26. Общий вид универсального катодного вольтметра В. А. Иванова.

ным током 50 гц по любому вольтметру переменного тока с купроксом, предварительно установив ее предел точно на 1,5 в с помощью реостата R_{23} . Для диапазонов переменных напряжений 1,5 и 6 в прибор должен иметь отдельные шкалы (вследствие нелинейности характеристики диода). Остальные диапазоны переменных напряжений имеют общие шкалы с постоянными напряжениями.

Подогнав таким образом все диапазоны переменного тока, можно приступить к подгонке шунтов к прибору для измерений токов.

Предварительно они рассчитываются по формуле

$$R_{ш} = \frac{I_n R_n}{I_{ш}},$$

где I_n — ток через прибор при полном отклонении стрелки в α ;

R_n — сопротивление рамки прибора в ом ;

$I_{ш}$ — ток через шунт в α ;

$R_{ш}$ — сопротивление шунта в ом .

Режим накала ламп, указанный в принципиальной схеме (фиг. 18), является оптимальным и найден после проведения значительного числа экспериментов для выяснения зависимости показаний прибора от падения напряжения в питающей сети. Внешний вид катодного вольтметра показан на фиг. 26.

Данные деталей, входящих в схему катодного вольтметра:

Сопротивления: R_1 — 20 мгом ; R_2 и R_9 — по 7,5 мгом ; R_3 — 1,5 мгом ; R_4 и R_{11} — по 0,75 мгом ; R_5 — 0,25 мгом ; R_6 — 50 мгом ; R_7 — 300 ом , подбирается при налаживании; R_8 — 37,5 мгом ; R_{10} — 3,75 мгом ; R_{12} — 0,375 мгом ; R_{13} — 0,125 мгом ; R_{14} — 10 ом ; R_{15} — 100 ом ; R_{16} — 1 000 ом ; R_{17} — 10 000 ом ; R_{18} — 0,1 мгом ; R_{19} — 10 мгом ; R_{20} , R_{21} и R_{41} — по 5,2 мгом ; R_{22} , R_{23} , R_{24} , R_{25} и R_{26} — по 3 000 ом , переменное; R_{27} , R_{28} , R_{29} , R_{30} , R_{31} , R_{32} и R_{43} подбираются в зависимости от чувствительности и сопротивления прибора Π ; R_{33} — 10 000 ом , переменное, с выключателем; R_{34} — 3 000 ом , переменное; R_{35} , R_{36} , R_{37} и R_{40} — по 45 000 ом , R_{38} и R_{39} — по 4 200 ом ; R_{42} — 5 мгом , переменное; R_{43} — 600 ом ; R_{44} , R_{45} , R_{46} и R_{47} подбираются при налаживании.

Конденсаторы: C_1 — 500 мкмкф ; C_2 — 1 000 мкмкф ; C_3 — 0,03 мкф ; C_4 — 5 000 мкмкф ; C_5 и C_6 — по 10 мкф ; C_7 — 1 000 мкмкф ; C_8 и C_9 — по 50 000 мкмкф .

Лампы: L_1 и L_4 — 955; L_2 и L_3 — 6SN7; L_5 — 5Ц4С; L_6 — 6,3 в; 0,25 а.

Π — микроамперметр на 500 мка ; может быть заменен миллиамперметром на 1 ма .

Электроизмерительные приборы магнитоэлектрической системы

Тип	Наименование	Диаметр покола или габаритные размеры, мм
А. Щитовые приборы		
МН	Амперметры и вольтметры нормальные . . .	185
ММ	Миллиамперметры, амперметры и вольтмет- ры малые	135
2МУ	Миллиамперметры, амперметры и вольтмет- ры уменьшенные	110
МНС	Амперметры, вольтметры специальные брыз- гонепроницаемые	185
МВ	Амперметры и вольтметры герметические . .	160
4МВ	Амперметры и вольтметры герметические . .	$80 \times 80 \times 68$
4МШ ¹	Миллиамперметры, амперметры и вольтмет- ры в штампованном корпусе	82
ЛМ-70	Миллиамперметры, амперметры и вольтмет- ры	70
5МЛ ¹	Миллиамперметры, амперметры и вольтмет- ры (лилипуть)	70
МК-55	Миллиамперметры, амперметры и вольтмет- ры	70×70
М-13	Амперметры брызгонепроницаемые двухстре- лочные	$200 \times 200 \times 90$
М-110	Амперметры, вольтметры брызгонепроницае- мые	$184 \times 184 \times 100$
М-113/1	Амперметры и вольтметры герметические . .	$175 \times 175 \times 96$
М-415	Амперметры и вольтметры герметические малогабаритные	$83 \times 83 \times 72$
М-61/1	Миллиамперметры, амперметры миниатюр- ные	$43 \times 43 \times 40$
М-61/2	Вольтметры миниатюрные	$43 \times 43 \times 40$
М-63/1	Вольтметры миниатюрные	$43 \times 43 \times 40$
А-040	Амперметры авиационные	60
В-040	Вольтметры авиационные	60
ВА-040	Вольтамперметры авиационные	60
М-41;	Миллиамперметры, амперметры и вольтмет- ры утопленные незранированные	80

¹ В настоящее время эти приборы с производства сняты; приборы типа 4МШ могут быть заменены приборами типа ЛМ-70, приборы 5МЛ — приборами типа МК-55.

Тип	Наименование	Диаметр покола или габаритные размеры, мм
Б. Переносные приборы		
2МП	Миллиамперметры, амперметры и вольтметры	187 × 187 × 108
МПС	Амперметры и вольтметры специальные экранированные	187 × 187 × 108
МПК	Миллиамперметры, амперметры и вольтметры контрольные	215 × 195 × 88
М-45	Амперметры, вольтметры и вольтмиллиамперметры малогабаритные	123 × 113 × 51
5МП	Амперметры, вольтметры и вольтмиллиамперметры карманные	95 × 68 × 37
МК-60	Амперметры, вольтметры и вольтмиллиамперметры карманные	60 × 60
М-65	Вольтметры миниатюрные	80 × 60 × 37
М-55/1	Амперметры, вольтметры и вольтмиллиамперметры карманные	92 × 60 × 37
М-55/3		
М-55/4		
М-55/5		
2МД	Миллиамперметры дифференциальные . . .	150 × 145 × 80
МЗГ	Зеркальные гальванометры (стационарные) .	230 × 247
МО	Стрелочные гальванометры	195 × 125 × 82
ГМП	Стрелочные гальванометры	85 × 130 × 107

¹ В настоящее время эти приборы с производства сняты; приборы типа 5МП могут быть заменены приборами типа МК-60.

ИСПРАВЛЕНИЯ

В вып. 11 „Массовой радиобиблиотеки“ — „Аппаратура для проверки и налаживания радиоприемников“ (Экспонаты 6-й Всесоюзной зоочной радиовыставки) необходимо внести следующие исправления:

1. На фиг. 2 (стр. 10) катод лампы *EL-14* следует соединить с землей.

2. На той же фигуре обозначение зажимов *С* и *С_{внешние}* надо заменить на *С* и *Г_{внешние}*.

3. На фиг. 9 (стр. 22) в схеме делителя напряжения вместо указанного сопротивления в 9 000 ом должно быть сопротивление в 90 000 ом.

Продолжение таблицы

Тип	Накал		Минимальный режим		Максимальный режим		Миним. ток втор. анода	Запир. напр. на модулях	Чувствительность	Цвет съечения экрана	Отклонение	Фокусировка	Основное применение	Габариты	
	<i>U</i>	<i>I</i>	<i>U_{a2}</i>	<i>U_{a1}</i>	<i>U_{a2}</i>	<i>U_{a1}</i>	мкА	в	м.м/в	—	—	—	—	Высота	Диаметр
—	<i>в</i>	<i>а</i>	<i>в</i>	<i>в</i>	<i>в</i>	<i>в</i>								м.м	м.м
1	2	3	4	5	6	7	8	9	10	11	12	13	14	15	16
ЛО-717	2,5	1,8—2,4	2 500	460	7 000	1 500	100	—100	0,07	Зеленый	Электростатичес.	Электростатичес.	Осциллографир.	575	238
ЛО-718	2,5	1,8—2,4	—	—	2 000	425	85	—65	0,2	Белый	То же	То же	Телевидение	440	135
ЛО-719	2,5	1,8—2,4	800	250	1 200	350	85	—60	0,2	Светло-зеленый	"	"	Осциллографир.	300	78
ЛО-720	2,5	1,8—2,4	800	200—260	1 200	280—380	85	—60	0,2	Белый	Электростатичес.	Электростатичес.	Осциллографир.	300	78
ЛО-721	2,5	1,8—2,4	1 000	170—210	2 000	350—440	85	—55	0,2	То же	То же	То же	То же	430	135
ЛО-726	2,5	2,1	—	—	3 500	—	—	—60	0,19	Зеленый	Магнитное	Магнитная	"	—	178
ЛО-729	6,3	0,6	1 500	430	2 000	575	—	—60	0,13	То же	Электростатичес.	Электростатичес.	"	—	76
ЛО-730	6,3	0,6	1 500	430	2 000	575	—	—60	0,11	"	То же	То же	Круговая развертка с радиальным отклонением	—	76
ЛО-731	6,3	0,6	4 000	250	7 000	250	—	—45	—	Желто-оранжев.	Магнитное	Магнитная	Осциллографир.	—	127
ЛО-732	6,3	0,6	4 000	250	7 000	250	—	—45	—	То же	То же	То же	Осциллографир. с прямоуг. экраном	—	305
ЛО-734	—	—	—	—	—	—	—	—	—	"	"	"	Осциллографир.	—	225
ЛО-735	6,3	0,6	4 000	250	7 000	250	—	—45	—	"	"	"	То же	—	178
ЛО-736	6,3	0,6	1 500	430	2 000	575	—	—60	0,28	"	"	"	Осциллографир. с длит. послесвечен	—	127
ЛО-737	6,3	0,6	1 500	430	2 000	575	—	—60	0,28	Зеленый	Электростатичес.	Электростатичес.	Осциллографир.	—	127
ЛО-738	6,3	0,6	500	125	1 000	250	—	—60	0,11	Светло-зеленый	То же	То же	То же	—	51

Цена 1 р. 50 к.

ГОСЭНЕРГОИЗДАТ

Москва, Шлюзовая набережная, дом 10

МАССОВАЯ РАДИОБИБЛИОТЕКА

Под общей редакцией А. И. БЕРГА

ПЕЧАТАЮТСЯ

И В БЛИЖАЙШЕЕ ВРЕМЯ

ПОСТУПАТ В ПРОДАЖУ

БОРИСОВ Н. С. Приемник местного приема.

Вспомогательное радиооборудование (Экспонаты 7-й Всесоюзной заочной радиовыставки).

ГИНЗБУРГ З. Б. и ТАРАСОВ Ф. И. Книга начинающего радиолюбителя.

ЕНЮТИН В. В. Шестнадцать радиолюбительских схем.

ЗВУКОЗАПИСЬ (Экспонаты 7-й Всесоюзной заочной радиовыставки).

КОРОЛЬКОВ В. Г. Магнитная запись звука.

ЛЕВИТИН Е. А. Параметры радиоприемников.

ЛОГИНОВ В. Н. Справочник по радиодеталям.

ТАРАСОВ Ф. И. Практика радиомонтажа.

Учебно-наглядные пособия (Экспонаты 7-й Всесоюзной заочной радиовыставки).